

TS790-3, Fig. C1Wde: Elemento A: rejillas radial N-W, W-N, N-Z y W-Z; PS operator: *rgb/cmy0*

$L^*/Y_{\text{pretenden}}$ 18.0/18.0 37.3/37.3 56.7/56.7 76.1/76.0 95.4/95.4 N_0 (min.) W_1 (max.)
(absoluta)



$w^*-l^*_{\text{CIELAB}, r}$ (relativa)
 w^*_entrada 0,000 0,250 0,500 0,750 1,000 N_0 (min.) W_1 (max.)
 w^*_salida

TS790-5, Fig. C2Wde: Elemento B: 5 equidistante L^* pasos de gris + N_0 + W_1 ; PS operator: *rgb/cmy0*

$L^*/Y_{\text{pretenden}}$ 18.0/18.0 23.2/23.2 28.3/28.3 33.5/33.5 38.6/38.6 43.8/43.8 49.0/49.0
(absoluta)

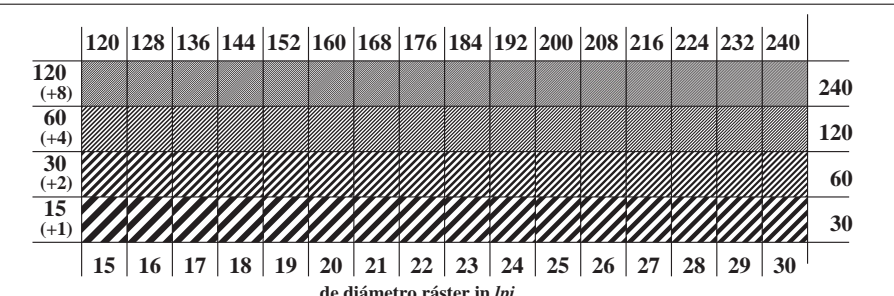


N_0 y código Hex 00;F 01;E 02;D 03;C 04;B 05;A 06;9 07;8 08;7 09;6 10;5 11;4 12;3 13;2 14;1 15;0
 $w^*-l^*_{\text{CIELAB}, r}$ (relativa)
 w^*_entrada 0,000 0,067 0,133 0,200 0,267 0,333 0,400 0,467 0,533 0,600 0,667 0,733 0,800 0,867 0,933 1,000
 w^*_salida

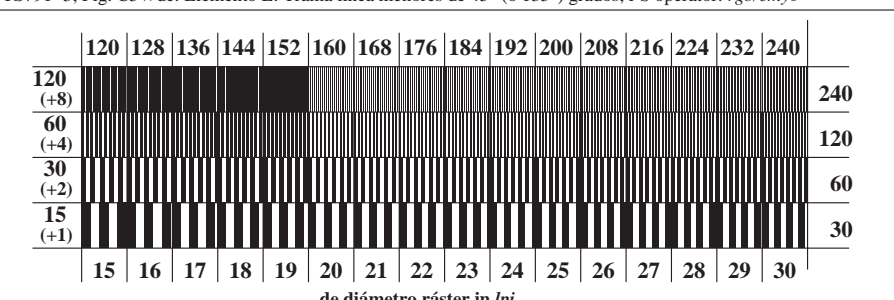
TS790-7, Fig. C3Wde: Elemento C: 16 equidistante L^* pasos de gris; PS operator: *rgb/cmy0*

| | | | |
|------------|---|-----------------|------------------------|
| paso fondo | 0 | ○ ○ ○ ○ ○ ○ ○ ○ | 1 paso del anillo 0-1 |
| | 7 | ○ ○ ○ ○ ○ ○ ○ ○ | Código Hexadecimal 7-8 |
| | E | ○ ○ ○ ○ ○ ○ ○ ○ | F E-F |
| | 2 | ○ ○ ○ ○ ○ ○ ○ ○ | 0 2-0 |
| | 8 | ○ ○ ○ ○ ○ ○ ○ ○ | 6 8-6 |
| | F | ○ ○ ○ ○ ○ ○ ○ ○ | D F-D |

TS791-1, Fig. C4Wde: Elemento D: anillos de Landolt W-N; PS operator: *rgb/cmy0*



TS791-3, Fig. C5Wde: Elemento E: Trama linea menores de 45° (o 135°) grados; PS operator: *rgb/cmy0*



TS791-5, Fig. C6Wde: Elemento F: Trama linea menores de 90° (o 0°) grados; PS operator: *rgb/cmy0*

